

## الفصل الرابع

### حواجز الطاقة الوضعية

#### Potential Energy Barriers

فى الفصل السابق : تكلمنا عن المنطقة التى تكون طاقة الوضع إما بصفر أو لا نهائى. وهذا يعني بالنسبة للجسيم الموجود والمحدود فى أحد المحاور للصندوق فى المنطقة ذات الطاقة الوضعية بصفر بين الحدود  $0 \leq x \leq a$  لأن المنطقة خارج هذه الحدود، حيث طاقة الوضع اعتبرت بما لا نهاية. والجسيم على هذا الأساس محدد بحدود طاقة الوضع بما لا نهاية عالية. فى هذا الفصل يعود الاهتمام إلى الموقع الذى يحدث عندما يكون ارتفاع الحد لطاقة الوضع متناه، ولكن قبل تلك المشكلة بعض الإعتبارات ستقدم للتوجيه لتضمن حلول معادلة الموجة لشrodinger.

#### متضمنات توجيهية لدالة الموجة :

#### Directional Implications of Wave Functions:

لقد أعطى الحل لأحد المحاور لمعادلة شروdonجر فى جزئية المعادلة للأنس المعدن فى المعادلة (76) فى الفصل الثاني كما يلى :-

$$\psi = C e^{ikx} + D e^{-ikx} \quad -1$$

حيث

$$k^2 = 8\pi^2 m (E - V) / h^2$$

مثلا  $(E - V)$  تكون مساوية لطاقة الحركة،  $\frac{1}{2}mv^2$

$$k^2 = 4\pi^2 m v^2 / h^2$$

أو

$$k = 2\pi m v / h$$

لذا فالمعادلة (1) تكتب على هذه الصورة :-

$$\psi = C \exp(2\pi i m v \cdot x/h) + D \exp[2\pi i m (-v) x/h]$$

حيث السالب فى الأنس فى الجزئية الثابتة مرتبطة بسرعة الجسيم. وهذا يدل ضعنا على أن (C)- تطابق لجسيم يأخذ سرعة موجبه، وان D تقابل لجسيم يأخذ سرعة سالبة

وكلاهما يتحرك في اتجاه عكس الآخر. كما أن جزئية (C) تدل على اتجاه في المحور السيني من اليسار لليمين، وكذلك D يعتبر للجسم المتحرك من اليمين إلى اليسار. والشكل المثلثي فيما بعد دالة الموجة الذي يعتبر الحل لمعادلة الموجة لشرونجر والتي أعطيت أولاً في الفصل الثاني لالمعادلة (75)، وأنت هنا سوف نعيد القول بأن الحل المثلثي هو :-

$$\Psi = A \sin kx + B \cos kx \quad -2$$

المقابل لمعادلة للموجة القائمة، والتي نحصل عليها بواسطة موجتين متتاليتين مترافقتين في الاتجاه المعاكس وباستمرار.

وهكذا: بينما الجزيئين في المعادلة (1) للدالة الأساسية المعقدة، التي يمكن اعتبارها للإشارة إلى حركة الجسم للأمام والخلف، ومعادلة الدالة المثلثية (2)، يجب اعتبارها لتقابل حركة الجسم في الاتجاه المعاكس باستمرار. إلى هذا الحد: وبينما الشقين لمعادلة (1)، دالة الأس المعقدة، ربما يمكن اعتبارها لتشير لحركة الجسم للأمام والخلف، ومعادلة المثلثية، المعادلة (2)، يجب اعتبارها لتقابل حركة الجسم في الاتجاه المعاكس باستمرار وليس من الضروري لقول، أنه ليس من الممكن أن نتصور هذا الوضع فيزيائياً، ولكن من الواجب أن نتذكر أن معادلة الموجة ما هي إلا فقط وصف لسلوك الجسم في حساسية ميكانيكا الكم. ومن المعادلة (1) والمعادلة (2) يوجد وصفين مختلفين للمشكلة وتكون غالباً ما يحدث واحد فقط للوصف ويكون الأكثر ملائمة لسمة جديرة بالذكر للمشكلة عن غيرها. ومن الواضح جلياً الفائدة لإختيار أفضل إحدى الوضعين للفرض بالتفصيل. مثال لذلك: قطعة من الصوف يمكن أو توصف حالة شكلها وإن تقول أن شكلها ثابت صلب موضوع. وفيما بعد، يمكن وصفهابتها مادة قابلة سريعة الإشتعال.

مسألة الإختيار لوصف المشكلة يمكن تفسيرها وذلك بالإشارة إلى عزم الجسم في أحد محاور الصندوق. وقد أعطيت محاولة في الفصل الأخير لإيجاد عزم الجسم وذلك بتطبيق معامل العزم لدالة الموجة.

$$\Psi_n = \sqrt{\left(\frac{2}{a}\right)} \sin \frac{n\pi}{a} x \quad -3$$

والمقصود أو الإخفاق لهذه الطريقة ترينا أن العزم ليست كمية قاطعة والحساب التالي أعطى العزم P. كما يلى :

$$P = \pm n h / 2a$$

بالنظر لتلك أن العزم عند أي لحظة يمكن أن يكون موجب أو سالب. وأنه ليس واضحاً وأن الحل المثلثي السابق المقابل لحركة الجسم في كلا الاتجاهين مستمر وتحت تلك الظروف فالعزم لا يمكن أن يكون ذات قيمة قاطعة.

ومن الممكن تحويل المعادلة (3) إلى أجزاء أساسية معقدة. متذكرةً أن (المراجع ١ أو التذيلية).

$$\sin \alpha = \frac{1}{2i} (e^{i\alpha} - e^{-i\alpha})$$

وبالتالي المعادلة (3) يمكن كتابتها :

$$\Psi_n = \sqrt{\left(\frac{2}{a}\right)} \cdot \frac{1}{2i} (e^{in\pi x/a} - e^{-in\pi x/a}) \quad - 4$$

وفي هذا الشكل الشق الأول من القوس يمكن اعتباره للإشارة إلى حركة الجسم في الاتجاه الموجب أي من ناحية اليسار إلى اليمين، والشق الثاني أيضاً الإشارة إلى حركة الجسم في الاتجاه المعاكس من اليمين إلى اليسار ولو اعتبرنا أن الجسم ليتحرك فقط في اتجاه واحد، بمعنى من اليسار إلى اليمين، إذاً يجب إيجاد العزم له وسوف يكون محدد بقيمة قاطعة. والدالة التي تبين حركة الجسم فقط في اتجاه واحد مثلاً من اليسار إلى اليمين سوف تكون هي :-

$$\Psi_n = \sqrt{\left(\frac{2}{a}\right)} \cdot \frac{1}{2i} e^{in\pi x/a}$$

ولنا أن نعتبر فقط الشق الأول من المعادلة (4). وبالعمل على تلك الدالة بمعامل عزم مناسب كما يلى :-

$$\begin{aligned} \frac{h}{2\pi i} \cdot \frac{d}{dx} \left( \sqrt{\left(\frac{2}{a}\right)} \cdot \frac{1}{2i} e^{in\pi x/a} \right) &= \frac{h}{2\pi i} \cdot \frac{1}{2i} \cdot \sqrt{\left(\frac{2}{a}\right)} \cdot \frac{in\pi}{a} e^{in\pi x/a} \\ &= \frac{nh}{2a} \Psi_n \end{aligned}$$

هذه العملية تنتج لنا عدد حقيقي مضروب في دالة موجة أصلية، ومن هنا فهذا العدد الحقيقي يعتبر العزم للجسم، والعزم كما هو واضح من المعادلة الآتية موجب

$$P = \frac{nh}{2a}$$

والحالة هنا كما أخذنا في الإعتبار لحركة الجسم من اليسار إلى اليمين، بمعنى السرعة موجبة.

ومن الواضح الآن، لو أن اتجاه حركة الجسم هي الأهم في المشكلة فيكون أفضل وصف مناسب للنظام سوف يعطى بواسطة دالة الموجة. المعبر عنها في الجزئية الأساسية المعقدة.

### Single Potential Barriers

### حدود طاقة الوضع المنفرد

نفترض جسم ينتقل من منطقة يكون لها طاقة وضع بصغر إلى اتجاه منطقة يكون لها طاقة وضع نهائية. ولو أننا ننتبه أن حركة الجسم تعتبر محددة وفي محور واحد فقط وهو المحور السيني مثلاً، كما هو موضع في الشكل (1)، فعند ما يصل الجسم إلى حدود أو يقترب من حد الوضع (طاقة الوضع) ذي الإنذاع المرموز له بالرمز (V) وموقع الجسم عند  $x=0$  من ناحية اليسار، أي بمعنى قيمة سالبة للمحور السيني ( $x$ ). عملياً لا تتغير طاقة الوضع بهذه الصورة المرسومة بحدة كما هو في الشكل (1)، والذي يوضح حقيقة الوضع ببساطة.

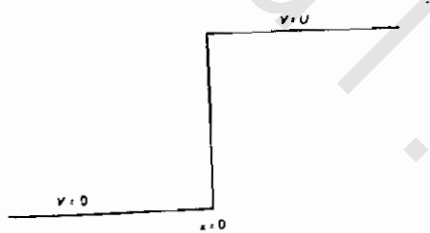


Fig. (1): Simple potential barrier of finite height

فطى العصوم يوجد منطقتين لتلك المسألة، واحدة تقبل قيمة سالبة للمحور ( $x$ )، حيث طاقة الوضع تعطى بواسطة  $U=0$ ، والأخرى يقابلها قيمة موجبة للمحور ( $x$ )، وعندما يكون الوضع  $U = V$ . ويعرف بالمنطقة (1) والمنطقة (2) على التوالي :-

وفي الفيزياء التقليدية، يقترب الجسم للحد من الناحية اليسرى، فاما يمر أعلى الحد وعليه لو أن طاقته كانت أعلى من ارتفاع الحد، او ربما ينحرف او ينعكس لو أن الطاقة أقل من الحد المسموح لارتفاع الحاطن. والناتج لميكانيكا الكم لا يساعد في أساس الفيزياء التقليدية، ولكن المسألة تتعلق في إتجاه حركة الجسم، ومن الواضح أن شكل الأسس المعقّدة دالة الموجة يعتبر أكثر مناسبة لتلك المسألة المحددة.

ففي المنطقة (1) لو أن  $0 = v$  فإن شكل معادلة شرودنجر تصبح : -

$$\frac{d^2\Psi_1}{dx^2} + \frac{8\pi^2m}{h^2} E \Psi_1 = 0$$

الرمز (1) يشير إلى دالة الموجة في المنطقة (1). ويكون الحل دالة الموجة في جزئية الأسس على النحو التالي : -

$$\Psi_1 = C_1 e^{ik_1 x} + D_1 e^{-ik_1 x} \quad - 5$$

$$\text{حيث } k_1 = 2\pi (2\pi E)^{1/2} / h \quad - 6$$

ويجب أن نتذكر أن الجزئية الأولى في المعادلة (5)، تشير إلى أن حركة الجسم تجاه الجدار من اليسار. بينما الشق الثاني أيضاً يشير إلى حركة الجسم من اليمين إلى اليسار في المنطقة (1). وهذا يعني أن الجسم ينعكس من عند الجدار. وقبل أي إجراء أكثر أو مزيد فإننا سوف نستخدم كل جزئية (جزء) منفصلة اعتبارية من تلك المعادلة. فباخذ الجزء الأول والذي يمثل حركة الجسم الأمامية ثم نكتب على النحو التالي :-

$$\Psi_F = C_1 e^{ik_1 x} \quad - 7$$

وعليه فإن احتمالية وجود الجسم في تلك المنطقة في المسافة ( $dx$ ) تعطى بالعلاقة :-

$$\Psi_F \Psi_F^* dx$$

حيث  $\Psi$  المقابلة للدالة  $\Psi$  ، ومن المعادلة (7)

$$\Psi_F \Psi_F^* dx = C_1 e^{ik_1 x} \cdot C_1 e^{-ik_1 x} dx = C_1 C_1^* dx \quad - 8$$

حيث أيضاً ( $C_1^*$ ) المقابلة للحد ( $C_1$ ).

وبأخذ الشق الثاني للمعادلة (5)، دالة الموجة للجسيم سوف تكون للخلف ويمكن كتابتها كما يلى :-

$$\psi_b = D_1 e^{-ik_1 x} \quad - 9$$

وأن احتمالية وجود حركة الجسيم للخلف في المسافة المقيدة  $x$  له ويعطى بالعلاقة:

$$\psi_b \psi_b^* dx$$

ومن المعادلة (9) تكون الصيغة كما يلى :-

$$\psi_b \psi_b^* dx = D_1 e^{-ik_1 x} \cdot D_1^* e^{ik_1 x} dx = D_1 D_1^* dx \quad - 10$$

والإحتمالية النسبية للحركة من الخلف للأمام تكون بالطبع

$$\frac{\Psi_b \Psi_b^* dx}{\Psi_F \Psi_F^* dx} = \frac{D_1 D_1^*}{C_1 C_1^*} \quad - 11$$

ومن التحليل لتلك المسألة الحدية إذا: لربما نفهم أن علاقه القيم للحدود  $(D_1, C_1)$  مهمة جدا.

بالرجوع إلى المنطقة (2) حيث  $u = v$ ، فإن معادلة شرودنجر تأخذ الشكل:

$$\frac{d^2 \Psi_2}{dx^2} + \frac{8\pi^2 m}{h^2} (E - U) \Psi_2 = 0$$

والحل لتلك المعادلة كما يلى :-

$$\Psi_2 = C_2 e^{ik_2 x} + D_2 e^{-ik_2 x} \quad - 12$$

$$\text{حيث } K_2 = 2\pi [(2m(E-U)]^{1/2} / h$$

مرة أخرى: تخص أهمية علاقه القيم لكل من  $C_2, D_2$  ويمكن إيجاد أو الحصول على العلاقة بين الشفوق المتغير بين  $(C, D)$  وذلك على اعتبار التحديد المسلط على دوال الموجه لو أنها كانت دالة ذاتية للنظام. ولنا أن نقول أن أحد الشروط وهي أن دالة الموجة قيمة وحيدة مستمرة، وعليه عند النقطة  $(x=0)$ ،  $(\Psi)$  يجب أن تكون مساوية للدالة  $\Psi_1$ ، وإلا سوف يوجد احتمالين مختلفين لتعيين الجسم عند هذه النقطة. بوضع  $\Psi_2 = \Psi_1$  والذى تعطى من المعادلة (5) والمعادلة (12).

$$C_1 e^{ik_1 x} + D_1 e^{-ik_1 x} = C_2 e^{ik_2 x} + D_2 e^{-ik_2 x}$$

باعتبار هذه العلاقة حيث  $x=0$  نحصل على :

$$C_1 + D_1 = C_2 + D_2 \quad - 13$$

وضع آخر لتلك الدالة الذاتية، يجب أن يفى بالجزء الأول الإشتقاقي للدالة بحيث أن تكون مستمرة (أنظر المرجع 1). وهذا يعني أنه عند أي نقطة، ميل دالة الموجة لا يتغير فجأة. وهذه الحالة يمكن أن تحدد عند  $x=0$ .

$$\frac{d\Psi_1}{dx} = \frac{d\Psi_2}{dx} \quad - 14$$

بتفاضل المعادلة (5) بالإستبطان للدالة ( $x$ ) تعطى :-

$$\frac{d\Psi_1}{dx} = ik_1 C_1 e^{ik_1 x} - ik_1 D_1 e^{-ik_1 x}$$

وبتفاضل المعادلة (12) نجد أن :-

$$\frac{d\Psi_2}{dx} = ik_2 C_2 e^{ik_2 x} - ik_2 D_2 e^{-ik_2 x}$$

وبالاستبدال في المعادلة (14)

$$ik_1 (C_1 e^{ik_1 x} - D_1 e^{-ik_1 x}) = ik_2 (C_2 e^{ik_2 x} - D_2 e^{-ik_2 x})$$

بتطبيق الحاله  $x=0$  ثم بالإختصار :-

$$K_1 (C_1 - D_1) = K_2 (C_2 - D_2) \quad - 15$$

: ومن المعادلة (13)

$$C_1 = C_2 + D_2 - D_1 \quad - 16$$

والقيمة للحد ( $D_1$ ) يمكن إيجاده من المعادلة (15) كما يلى :-

$$D_1 = C_1 - \frac{k_2}{k_1} C_2 + \frac{k_2}{k_1} D_2 \quad - 17$$

بالاستبدال في المعادلة (16)

$$C_1 = C_2 + D_2 - C_2 + \frac{k_2}{k_1} C_2 - \frac{k_2}{k_1} D_2$$

$$\text{أو } 2C_1 = C_2 \left(1 + \frac{k_2}{k_1}\right) + D_2 \left(1 - \frac{k_2}{k_1}\right)$$

لذلك

$$C_1 = \frac{C_2}{2k_1} (k_1 + k_2) + \frac{D_2}{2k_1} (k_1 - k_2) \quad - 18$$

تعبير مماثل للدالة  $(D_1)$  يمكن إيجاده باستبدال معادلة 16 للدالة  $C_1$  في المعادلة (17).

$$D_1 = C_2 + D_2 - D_1 - \frac{k_2}{k_1} C_2 + \frac{k_2}{k_1} D_2$$

$$\text{أو } 2D_1 = C_2 \left(1 - \frac{k_2}{k_1}\right) + D_2 \left(1 + \frac{k_2}{k_1}\right)$$

لذلك

$$C_1 = \frac{C_2}{2k_1} (k_1 - k_2) + \frac{D_2}{2k_1} (k_1 + k_2) \quad - 19$$

باخذ برهنة هذه العلاقات: يوجد حالتين يمكن اعتبارهم طبقاً ما إذا كان مجموع الطاقة  $(E)$  للجسم الذي يقترب من الجدار تكون أكبر من أو أقل من ارتفاع الجدار  $(U)$ . ولربما باستخدام تلك المسافة بين مكائنين لحالة دالة الموجة لمنطقة (1) والمنطقة (2)، ومرة أخرى لتلك العلاقة المتضمنة للقيمة النسبية لكل من  $(E)$  و  $(U)$  والذان ربما يمكن فهمها جيداً.

$$\psi_1 = C_1 e^{ik_1 x} - D_1 e^{-ik_1 x} \quad - 5$$

$$k_1 = 2\pi (2m E)^{1/2} / h \quad - 20$$

$$\psi_2 = C_2 e^{ik_2 x} + D_2 e^{-ik_2 x} \quad - 12$$

$$k_2 = 2\pi [2m (E - U)]^{1/2} / h \quad - 21$$

إشارة للقيمة  $(V)$  فلربما نرى أن  $(k_1)$  دائماً ما تكون كمية حقيقية. في المنطقة (2) على أي حال متى تكون قيمة حقيقية لو اعتبرنا أن  $U > E$ ، ولكن يمكن أن تكون لها قيمة تخيلية لو أن  $E < U$ .

فلنعتبر أولاً: الحالة عندما  $E > U$ , تحت تلك الظروف  $k_2$  حقيقة، ثم لا يوجد جسيم يقترب من القيمة الموجية للحد ( $x$ ).  $D_2$  تصبح بصفة، في تلك الحالة المعادلات 19,18 تختزل إلى :-

$$C_1 = \frac{C_2}{2k_1} (k_1 + k_2) \quad - 22$$

$$D_1 = \frac{C_2}{2k_1} (k_1 - k_2) \quad - 23$$

لذلك

$$\frac{D_1}{C_1} = \frac{k_1 - k_2}{k_1 + k_2}$$

بالاستبدال من المعادلة 20، والمعادلة 21 وبالتبسيط :-

$$\frac{D_1}{C_1} = \frac{E^{\frac{1}{2}} - (E - U)^{\frac{1}{2}}}{E^{\frac{1}{2}} + (E - U)^{\frac{1}{2}}} \quad - 24$$

المعادلة (21) تعطي النسبة للجسيمات المنعكسة إلى الجسيمات الحادثة في المنطقة (1) مثماً  $C_1^0 D_1$ . والمعادلة (24) ترينا أن  $C_1^0 D_1$  عبارة عن كمية حقيقة، عندما  $E > U$  ومن هنا :-

$$\frac{D_1 D_1^0}{C_1 C_1^0} = \frac{D_1^2}{C_1^2} = \frac{2E - U - 2[E(E - U)]^{\frac{1}{2}}}{2E - U + 2[E(E - U)]^{\frac{1}{2}}} \quad - 25$$

بقسمة البسط والمقام للمعادلة (25) للطاقة  $E$  ويوضع  $U/E = \alpha$  نعطي :

$$\frac{D_1 D_1^0}{C_1 C_1^0} = \frac{2 - \alpha - 2(1-\alpha))^{\frac{1}{2}}}{2 - \alpha + 2(1-\alpha))^{\frac{1}{2}}} \quad - 26$$

بتعميد الحدين للمقدار  $(1-\alpha)^{1/2}$  نعطي :-

$$(1-\alpha)^{1/2} = 1 - \frac{\alpha}{2} - \frac{\alpha^2}{8} - \frac{\alpha^3}{48}$$

ولو أن  $\frac{1}{2} > \alpha$  الحد الرابع وبالتالي الشقوق الأخرى يمكن إهمالها. وباستبدال الثلاث

أجزاء الأول للتمدد للمعادلة (26). لتعطى :-

$$\frac{D_1 D_1^\circ}{C_1 C_1^\circ} = \frac{\alpha^2/4}{4 - 2\alpha - \alpha^2/4} \quad - 27$$

ولو أن  $\frac{1}{2} > \alpha$  إذا  $\alpha^2/4$  ستهم وبالاحتفاظ للحد  $(4 - 2\alpha)$  فإن المعادلة 27 ربما

تكتب:

$$\frac{D_1 D_1^\circ}{C_1 C_1^\circ} = \frac{\alpha^2}{8(2 - \alpha)} \quad - 28$$

إذا المعادلة (28) ترينا أن بعض الجسيمات سوف ينعكس من الحد بشرط أن  $(\alpha)$  ليست بصفرا. ولو أن ارتفاع الحد محدود  $(\alpha)$  لا يكون صفر باستثناء الطاقة يكون للجسيمات الحادثة بحيث تكون لا نهائية وهذا يعني أن الجسيمات للطاقة  $E$  سوف تقترب حد طاقة الوضع للارتفاع  $(U)$ ، وأن بعض الجسيمات سوف تنعكس. ولو أن  $E=2V$ ، إذا  $\alpha=0.5$  وإستبدال هذه القيمة في المعادلة (28).

$$\frac{D_1 D_1^\circ}{C_1 C_1^\circ} = 0.021$$

حيث نرى أن تحت هذه الظروف حوالي (2%) من الجسيمات الحادثة سوف يحدث لها انعكاس.

ولنعتبر أن الحالة بحيث طاقة الجسيمات الحادثة تعتبر أقل من هذا الارتفاع ولهذا فإن  $U < E$  وتحت تلك الظروف  $k_2$  تكون بكمية تخيلية. ولو أن  $k_2$  تخيلية إذا الحد  $(k_2)$  سيصبح كمية حقيقة. وبوضع  $k_2 = ik_2$  حيث  $i$  كمية حقيقة، والمعادلة (12) يمكن كتابتها:

$$\Psi_2 = C_2 e^{ik_2 x} + D_2 e^{-ik_2 x}$$

وياعتبر كل جزئية، سوف نرى أن، مثلاً نستبدل القيم الآتية :-

x	$\longrightarrow \infty$
إذا	$C_2 e^{ik_2 x} \longrightarrow \infty$
وكذلك	$D_2 e^{-ik_2 x} \longrightarrow 0$

واحد من تلك الظروف وهى أن الدالة الذاتية تعتبر وافية وأنها محددة لأى مكان. ولو أن  $\psi_2$  تتمثل لتلك الظروف. إذا  $C_2$  تعتبر بصفة معنى آخر  $\psi_2$  لا نهائية عندما  $(x)$  تكون لا نهائية. وعندما  $(E < U)$  فإن  $\psi_2$  تكتب على الصورة الآتية :-

$$\psi_2 = D_2 e^{-ik_2 x} \quad - 30$$

ومع  $0 = C_2$  فالمعادلة (18) والمعادلة 19 تصبحان :-

$$C_1 = \frac{D_2}{2k_1} (k_1 - k_2)$$

أو

$$D_1 = \frac{D_2}{2k_1} (k_1 + k_2)$$

حيث

$$\frac{D_1}{C_1} = \frac{k_1 + k_2}{k_1 - k_2}$$

وبالاستبدال من المعادلتين 20 ، 21 وبالتبسيط

$$\frac{D_1}{C_1} = \frac{\frac{1}{2} [E^{\frac{1}{2}} + (E - U)]^{\frac{1}{2}}}{\frac{1}{2} [E^{\frac{1}{2}} - (E - U)]^{\frac{1}{2}}} \quad - 31$$

فمع  $U < E$  ،  $(E - U)^{1/2}$  تكون كمية خيالية ويمكن كتابتها  $[E - U]^{1/2}$  و المعادلة 3

تصبح :-

$$\frac{D_1}{C_1} = \frac{\frac{1}{2} [E^{\frac{1}{2}} + i(U - E)]^{\frac{1}{2}}}{\frac{1}{2} [E^{\frac{1}{2}} - i(U - E)]^{\frac{1}{2}}}$$

والمعادلة (11) تعطى النسبة للجسيمات المنعكسة للجسيمات الحادثة في المنطقة (1) مثلاً  $D_1 D_1^* / C_1 C_1^*$ . متذكرة أن المقابلة للكميات المعقّدة ستحصل عليها باستبدال (i). بالمقدار (i).

$$\frac{D_1 D_1^*}{C_1 C_1^*} = \frac{\frac{1}{2} [E^{\frac{1}{2}} + i(U - E)]^{\frac{1}{2}}}{\frac{1}{2} [E^{\frac{1}{2}} - i(U - E)]^{\frac{1}{2}}} \cdot \frac{\frac{1}{2} [E^{\frac{1}{2}} - i(U - E)]^{\frac{1}{2}}}{\frac{1}{2} [E^{\frac{1}{2}} + i(U - E)]^{\frac{1}{2}}} = 1$$

بالنظر إلى: عندما  $U < E$  ، كل الجسيمات سوف تنعكس بواسطة الحد (الحانط). هناك يكون، على أي حال. اعتبارات أخرى وبذلك لنا أن نشير إلى أن مع  $C_2 = 0$ ، والمعادلة 18 تصبح :

$$C_1 = (k_1 - k_2)$$

أو

$$2k_1 C_1 = D_2 (k_1 - k_2)$$

بالاستبدال بالنسبة ( $k_1$ ), ( $k_2$ ) من المعادلة 20 والمعادلة 21 للتيسير :-

$$2C_1 E = D_2 [E - (E - U)^{1/2}] \quad - 32$$

مرة أخرى بكتابه  $(E - U)^{1/2}$  مثلاً ( $E - U$ ). والمعادلة 32 تصبح :

$$2C_1 E = D_2 [E - i(U - E)^{1/2}] \quad - 33$$

كما أن نسبة احتمالية إيجاد الجسيمات في المنطقة (2) بجانب حد الطاقة للوضع (الحانط)، إلى الجسيمات الحادثة الموجودة في المنطقة (1) ستتمثل بالمعادلة أو بالنسبة  $D_2 D_2^{\circ} / C_1 C_1^{\circ}$ . ولأخذ بعض الفكر لهذه الكميات، المعادلة (33)، سينتضاaffer على كلا الجانبين بتزاوجات مناسبة. وكما هو غير معروف سواء  $C_1$ ,  $D_2$  حيث أنهما كميات خيالية أم لا. والكميات المتزاوجة لها وهي  $D_2^{\circ}, C_1^{\circ}$  على التوالي وسوف نتذكر، على أي حال، أن ذلك العدد المقابل يمكن إيجاده بإستبدال (i) مع (i-). ففي حالة العدد (2) والذي لا يحتوى على (i) وهو غير تخيلي الكمية، إذا يكون المقابل أيضاً عدد (2). بمعنى هو عدد صحيح وهذا :-

$$2 (2^{\circ}) = 2^2 = 4$$

وبالمثل بالنسبة للطاقة  $E^{1/2}$

$$(E^{1/2}) (E^{1/2})^{\circ} = (E^{1/2})^2 = E$$

الجزئية في القوس للمعادلة (33) هو الشكل ( $a - ib$ ) والمقابل له لذلك الشكل هو ( $a + ib$ ). كما هو مبين في المرجع (1) أي أن :-

$$(a + ib) (a - ib) = a^2 + b^2$$

ولهذا فإن المعادلة (33) مضروبة بكميات مقابلة مناسبة ويمكن تكتب كما يلى:-

$$4C_1 C_1^{\circ} E_1 = D_2 D_2^{\circ} [E + (U - E)]$$

$$D_2 D_2^{\circ} = 4 \frac{E}{U} C_1 C_1^{\circ} \quad - 34$$

والمعادلة 34، تبين لنا أنه عندما  $(E)$  نهائية، فإن  $D_1 D_1^0$  لا تكون بصفة، باستثناء  $(U)$  لا تكون لا نهائية. إذا عندما حد الوضع (الحانط) له ارتفاع نهائى، إذا توجد إحتمالية لإيجاد الجسيم داخل الحد.

وباختصار عندما يكون الوضع  $U < E$ ، فإن دالة الموجة  $\psi_1, \psi_2$  للمناطق 1، 2 على التوالى تعطى بالمعادلة (30، 5) مثلاً :-

$$\psi_1 = C_1 e^{ik_1 x} - D_1 e^{-ik_1 x} \quad - 5$$

$$\psi_2 = D_2 e^{-ik_2 x} \quad - 30$$

كما هو مبين لهذا الفصل لقد لوحظ أن المعادلة (5)، الشق (C) يمكن استنتاجه الذى يمثل الجزيئات المرتجلة من اليسار إلى اليمين، الشق D يمكن إرتحال الجسيمات من اليمين إلى اليسار. وفي المعادلة 5 ،  $(k_1)$  كمية حقيقة وتعطى بالعلاقة :-

$$k_2 = 2\pi (2m E)^{1/2} / h \quad - 20$$

إذا قوة شق الأس فى المعادلة (5) الناشئة هى كميات تخيلية، مثلاً  $k_1$  تعتبر مضاعفة بالحد (i) لكلاً قوى الأس. علاوة على ذلك، يمكن أن نرى في الفصل الثاني أن المعادلة ذات الشكل (5) يمكن أن تكون مثلثية كما يلى :-

$$\psi_1 = A \sin k_1 x + B \cos k_1 x \quad - 35$$

والمعادلة (35) تكون على هذا النحو دالة تذبذبية، ولها فالمعادلة (5)، أيضاً دالة تذبذبية.

ففى المعادلة (30) على كل حال،  $k_2$  – عبارة عن كمية تخيلية، عندما  $U < E$  ولذلك فإن الحد  $(ik)$  بذلك تعتبر كمية حقيقة حيث يمكن كتابتها كما يلى في المعادلة (30).

$$\psi_1 = D_2 e^{-k_2 x} \quad - 36$$

حيث  $(k_2)$  كمية حقيقة، المعادلة (36) ليست دالة تذبذبية، ولكن أحدها يتلاشى إلى الصفر مثلاً  $(x)$  تؤول إلى لانهاية، في هذه الحالة  $\psi_2$  لا يمكن أن تؤول للصفر لأنها دالة تذبذبية حيث تبين رحلة الجسيم من اليمين إلى اليسار داخل الحدود، ولكن الأفضل اعتبارها كأنها حيز لأس لتلاشى الإمتصاص.

The tunnel effect

من اعتبار النتائج السابقة، وهو أن حيث الجسيم ذي الطاقة  $E$  أقل من الإرتفاع  $U$ . لطاقة الجدار (وضع طاقة الجدار) ربما يمكن أن يخترق الجدار (الحانط). كما يبدو لو أن الحانط (الجدار) ليس سميكاً بما لا نهاية، ففي تلك الحالة الجسيم يمكن أن تكون له هناك فرصة النفاذية للداخل ويظهر للعيان كجسيم حر على الجانب الآخر للجدار (الحانط). ولنعتبر حد الوضع لحدود السمك كما هو مبين في الشكل (2). ولنفترض جسيم يرتحل من قيم سالبة للموضع ( $x$ ) اتجاه حد الجهد (الحانط) حدود الحانط. فإن دالة الموجة في المناطق الثلاث في الشكل (2) يمكن كتابتها كما يلى: -

$$\Psi_1 = C_1 e^{ik_1 x} + D_1 e^{-ik_1 x} \quad - 37$$

$$\Psi_2 = C_2 e^{ik_2 x} + D_2 e^{-ik_2 x} \quad - 38$$

$$\Psi_3 = C_3 e^{ik_3 x} + D_3 e^{-ik_3 x} \quad - 39$$

$$\text{حيث } k_1 = 2\pi (2\pi E)^{1/2} / h \quad - 40$$

$$k_2 = 2\pi [2m(E-U_2)]^{1/2} / h \quad - 41$$

$$k_3 = 2\pi [2m(E-U_3)]^{1/2} / h \quad - 42$$

لو نعید الاهتمام إلى الحالة حيث الطاقة الكلية ( $E$ ) للجسيمات الحادثة تصبح في مكان ما بين ( $U_2$ ) ، ( $U_3$ ) وهذا يعني أن  $U_2 > E > U_3$  ، إذا حيث  $k_1$  ،  $k_3$  كميات حقيقة. إذا  $\Psi_1$  ،  $\Psi_3$  عبارة عن دوال تذبذبية من حيث الشق (C) التي تبين الجسيمات المتحركة من اليسار إلى اليمين، والشق (D) يبين حركة الجسيمات من اليمين إلى اليسار. فلو الجسيمات الحادثة على الحانط فقط من المنطقة (1)، والوضع في هذه الحالة حيث أن الجسيمات تقترب من اليسار (الشق  $C_1$ )، وممعظ الجسيمات سوف تتعكس للخلف إلى المنطقة (1) (الشق D)، ولكن بعض الجسيمات ربما تنفذ من الحانط وتستمر الحركة إلى اليمين في المنطقة (3) (الشق  $C_3$ ). مثلما لا تقترب الجسيمات للحانط من اليمين في المنطقة (3)، إذا  $(D_3)$  يجب أن تكون مساوية للصفر.

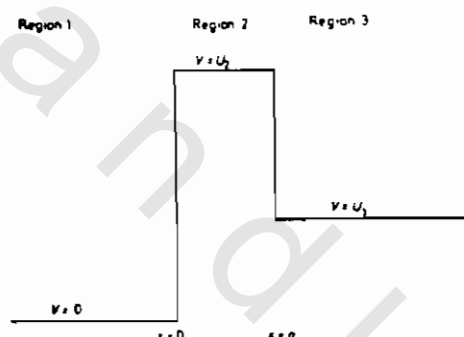
والإحتمالية لإيجاد الجسيم في المنطقة (3) متعلقة بإحتمالية إيجاد الجسيم الحادث في المنطقة (1)، والذي سوف يعطى بواسطة  $C_3 C_1^* / C_1 C_1^*$ ، وهذه عبارة عن الإحتمالية النفاذية للحانط. ولكن نصل لبعض الفكر العامة للعامل والتى تؤثر على هذه الإحتمالية

الصلة الموجودة بين ( $C_1$ ), ( $C_3$ ). فهذا العمل مشابه لنفس الطريقة المستخدمة في مسألة جهد الحانط الوحيد وذلك باعتبار القيود والتى يجب إدخالها على ( $\psi_1, \psi_2, \psi_3$ ). ولو أن هذه الدلالات عبارة عن دوال ذاتية (eigenfunctions). وهذه الظروف هي : -

$$\text{At } x = 0 \quad \psi_1 = \psi_2 \text{ and } \frac{d\psi_1}{dx} = \frac{d\psi_2}{dx}$$

$$\text{At } x = a \quad \psi_2 = \psi_3 \text{ and } \frac{d\psi_2}{dx} = \frac{d\psi_3}{dx}$$

بتطبيق هذه الظروف على المعادلات (36, 38, 39)، ونتذكر أن  $D_3 = 0$  سنحصل على : -



**Fig. (2): Potential energy barrier of finite width**

$$\text{For } \psi_1 = \psi_2 \text{ at } x = 0 ; C_1 + D_1 = C_2 + D_2 \quad - 43$$

$$\text{For } d\psi_1/dx = d\psi_2/dx \text{ at } x = 0 ; k_1 (C_1 - D_1) = K_2 (C_2 - D_2) \quad - 44$$

$$\text{For } \psi_2 = \psi_3 \text{ at } x = a, C_2 e^{ik_2 a} + D_2 e^{-ik_2 a} = C_3 e^{ik_3 a} \quad - 45$$

$$\text{For } \psi_2/dx = d\psi_3/dx \text{ at } x = a$$

$$k_2 (C_2 e^{ik_2 a} - D_2 e^{-ik_2 a}) = k_3 C_3 e^{ik_3 a} \quad - 46$$

ويواسطة نفس التقنية مثلاً التي استخدمت في الفصل السابق  $D_2$ ,  $C_2$ ,  $D_1$  والتي يمكن إزالتهم من المعادلات 43, 44, 45, 46 لنحصل على العلاقة بين  $(C_3, C_1)$  كما هو مبين (في المرجع 3).

$$C_1 = \frac{1}{2} C_3 e^{ik_3 x} \left( \left( \frac{k_1 + k_3}{k_1} \right) \cosh(ik_2 a) - \left( \frac{k_3}{k_2} + \frac{k_2}{k_1} \right) \sinh(ik_2 a) \right) \quad - 47$$

فعدما  $E > U_2 > U_3$ ,  $k_2$  سوف تصبح كمية تخيلية ولهذا  $(ik_2)$  سوف تكون كمية حقيقة، وبوضع :

$$ik_2 = k_2$$

وبالاستبدال في المعادلة (47) :-

$$C_1 = \frac{1}{2} C_3 e^{ik_3 x} \left( \left( \frac{k_1 + k_3}{k_1} \right) \cosh(k_2 a) - \left( \frac{ik_3}{k_2} + \frac{k_2}{ik_1} \right) \sinh(k_2 a) \right)$$

or

$$\frac{C_1}{C_3} = \frac{1}{2} e^{ik_3 a} \left( \frac{k_1 + k_3}{k_1} \right) \cosh(k_2 a) - i \left( \frac{k_3}{k_2} - \frac{k_2}{k_1} \right) \sinh(k_2 a) \quad - 48$$

الكمية المهمة الموجودة في سياق الكلام هي  $C_1 C_1^\circ / C_3 C_3^\circ$  وهذه يمكن ايجادها وذلك بضرب المعادلة (48) بواسطة المقابلة (المناظرة) له. والشق الموجود في الفوس في الحال يعود إلى الشق  $(a - ib)$  ولنتذكر أن :-

$$(a - ib)(a + ib) = a^2 + b^2$$

والمقدار  $C_1 C_1^\circ / C_3 C_3^\circ$  سوف يعين كما يلى :-

$$\frac{C_1 C_1^\circ}{C_3 C_3^\circ} = \frac{1}{4} \left[ \left( \frac{k_1 + k_3}{k_1} \right)^2 \cosh^2(k_2 a) + \left( \frac{k_3}{k_2} + \frac{k_2}{k_1} \right)^2 \sinh^2(k_2 a) \right] \quad - 49$$

وإحتمالية نفاذ الجسم خلال الحاط تكون بالطبع  $C_3 C_3^\circ / C_1 C_1^\circ$ , حيث تكون مقيودة للكمية المعطاة بالمعادلة (49). وإحتمالية الإنتقال لا تكون بصفر باستثناء المقدار  $C_3 C_3^\circ / C_1 C_1^\circ$  بصفر. وفيما بعد، باستثناء  $C_1 C_1^\circ / C_3 C_3^\circ$  تكون لا نهاية. فهذه يمكن أن تكون حالة عندما  $\sinh(k_2 a)$  و  $\cosh(k_2 a)$  تكون ما لا نهاية. متذكراً أن :-

$$\text{Cosh } \alpha = \frac{1}{2} (e^\alpha + e^{-\alpha}) \quad - 50$$

$$\text{Sinh } \alpha = \frac{1}{2} (e^\alpha - e^{-\alpha}) \quad - 51$$

هذا يمكن تقديره لو أن  $C_1 C_1^{\circ} / C_3 C_3^{\circ}$  تكون فقط بما لا نهاية عندما  $k_2 a$  تكون لا نهاية، حيث :-

$$k_2 = 2\pi [2m(U_2 - E)]^{1/2} / h$$

الظروف الإحتمالية بصغر للانتقال خلال الحانط حيث يكون :-

$$2\pi a [2m(U_2 - E)]^{1/2} / h = \infty$$

وهذه الظروف يمكن فقد تحقيقها عندما إما  $U_2 = \infty$  أو  $a = \infty$ . إذا، باستثناء جهد الحانط يكون ما لا نهاية وسمكة عال بما لا نهاية ، دائما يوجد احتمالية أن الجسيم بطاقة أقل من ارتفاع الحانط الذي سوف يخترقه، وهذا التأثير يعرف بتأثير النفق:-

نحو تشكيل فكرة علامة على ذلك لتلك الظاهرة وذلك باستخدام الدالة الآتية وهي عندما  $k_2 a > 1$ . وتحت تلك الظروف، نحن نرى من المعادلات 50، 51 أن:

$$\text{Cosh}(k_2 a) \approx \sinh(k_2 a) \approx \frac{1}{2} e^{k_2 a}$$

في هذه الحالة من المعادلة (49) التي يمكن كتابتها كما يلى :-

$$\begin{aligned} \frac{C_1 C_1^{\circ}}{C_3 C_3^{\circ}} &= \frac{1}{4} \left[ \left( \frac{k_1 + k_2}{k_1} \right)^2 \cdot \frac{1}{4} e^{2k_2 a} + \left( \frac{k_3}{k_2} - \frac{k_2}{k_1} \right)^2 \cdot \frac{1}{2} e^{2k_2 a} \right] \\ &= \frac{e^{k_2 a}}{16} \left[ \left( \frac{k_1 + k_2}{k_1} \right)^2 + \left( \frac{k_3}{k_2} - \frac{k_2}{k_1} \right)^2 \right] \end{aligned}$$

والإحتمالية للانتقال خلال الحانط  $C_3 C_3^{\circ} / C_1 C_1^{\circ}$ ، يمكن إيجادها بواسطة

$$\frac{C_1 C_1^{\circ}}{C_3 C_3^{\circ}} = \left[ \frac{16}{\left( 1 + \frac{k_3}{k_1} \right)^2 + \left( \frac{k_3}{k_2} - \frac{k_2}{k_1} \right)^2} \right] e^{2k_2 a} \quad - 52$$

وأنه ربما نفهم من هذه المعادلة أن إحتمالية الانتقال تقل بسرعة مع الإتساع في زيادة الحانط ومعامل الأس  $-2k_2^2$ .  $\exp$ ، في بعض الأحيان يعرف بمعامل النفاذية.

واحتمالية الانتقال تزداد مع زيادة معامل الانتقالية بمعنى  $2k_2 a$  تقل، متىما:

$$2k_2 a = 4\pi a [2m(U_2 - E)]^{1/2} / h$$

ولهذا كله يكون كل من  $(a,m)$ ،  $(U_2-E)$  صغير جداً، وتكون احتمالية الانتقال (النفاذية) عال جداً. وفي الحقيقة، يوجد فرصة ضئيلة جداً لنقاذية طاقة الحاطن مسجلة على مقاييس الرسم للذرة والجزيء، خاصة ما عدا الذرات الصغيرة، كذلك أيضاً للإلكترونات.

وأما بالنسبة  $U_2 > E > U_3$ ، حيث الجسم في المنطقة (1) الممثل بواسطة  $\beta\beta$  سيودي هذا إلى إضمحل الألس للدالة  $\beta\beta$  في داخل الحاطن إلى انبعاث داله موجه  $\beta\beta$  حقيقية على الجانب الأيمن للحاطن، الموقع يشبه في بعض العلاقات لمرور الضوء خلال وسط ماص حيث الأشعة المنبعثة تكون ذات كثافة أقل من الأشعة الحادثة.

يطبق تأثير النفق في حالات عديدة في الكيمياء الفيزيائية، وأفضل الأمثلة المعرومة والتي تكون في عملية تلاشي المواد المشعة، اليورانيوم (238) حيث يتلاشى بتباعد جسيمات الفا ( $\alpha$ ) بطاقة مقدارها  $0.67 \text{ MeV}$ ، بمقدار  $(4.2 \text{ Mev})$ . ولو أن جسيمات ( $\alpha$ ) تقترب من النواه فإنه يوجد تنافر ناتج من الشحنات الموجبة على النواه وجسيمات ( $\alpha$ ) والقوة لهذا التنافر تتبع قانون كولوم للتربع العكسي. وكلما يقترب جسيم الفا من النواه فترتفع طاقة الجهد بناءً على التفاعل الداخلي الكولوم. وعند أقل مسافة ممكنة، على أي حال، تكون قوة التجاذب للريابط القوية (بروتون ونيوترون) مع بعضهم تتغلب على قوة التنافر وطاقة الوضع تتلاشى. ورسم تغير طاقة الوضع حول النواه كما هو مرسوم في الشكل (3)، وربما نرى التقارب للوضع المثالي المبين في الشكل (2).

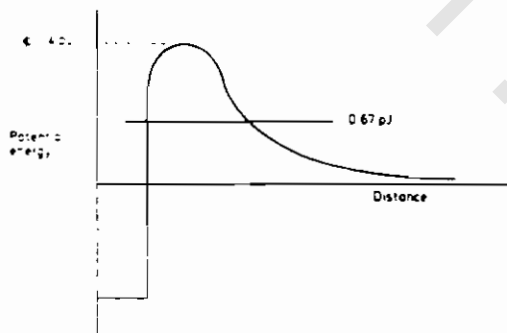


Fig. (3): Variation of potential energy of  $\alpha$ -particles around a nucleus.

ويمكن إجراء تجارب بالنسبة لنواه يورانيوم 238 والتي تنفجر بطاقة قدرها 1.4PJ (8.78Mev) لجسيمات الفا، والتعبير اللاحق لجسيمات ( $\alpha$ ) بناءً على قوة التنافر الموجودة فهذه الملاحظة تبين أن قانون كولوم سيبقى على الأقل يصل بطاقة (1.4PJ)، الإرتفاع لطاقة الحائط، والتي عندها تمر جسيمات الفا لتتمكن للهرب من النواه على الأقل (1.4PJ)، ولكن طاقة جسيمات  $\alpha$  اتبعت على هيئة إنسياب نشاط إشعاعي للنواه كانت فقط (0.67PJ). وهذه الجسيمات يمكن فقدان تهرب بواسطة المرور خلال الحائط.

وتأثير النفق أيضاً يكون مسجل في التفاعلات الحركية عندما يوجد في بعض الأحيان ثفاف خلال جدار طاقة التنشيط.